# 抽油机连杆的力学分析及结构改进

何 畏 王向涛 孙 宇 王钰文 西南石油大学机电工程学院,四川 成都 610500

摘 要:目前,我国油田闲置的异五型抽油机较多,由于本身结构设计存在缺陷且服役时间较 长,其驴头、连杆等部位多出现裂纹或断裂。使用再制造技术对闲置的异五型抽油机进行结构改造, 能够修旧利废,节约成本。因采用常规校核方法难以对连杆的连接部位进行计算,故运用有限元软 件 ANSYS 对连杆原结构进行分析。分析发现原设计并不合理,连杆接头与中间管的连接处存在较 大的应力集中。针对抽油机连杆存在应力集中、经常断裂的问题,提出了相应的改进措施,经过软件 计算和实际检验,改进后的连杆效果良好。

关键词:抽油机;连杆;断裂;有限元;裂纹控制;再制造

DOI: 10.3969/j.issn.1006-5539.2013.03.020

# 0 前言

游梁式抽油机是有杆抽油系统的地面装置,由动 力机、减速器、支架、四连杆机构和驴头等组成。减速 器的旋转运动通过四连杆机构和驴头转换为抽油泵 的上下直线运动,实现抽汲地下原油的目的。异五型 抽油机缺点较明显,如平衡效果差,能耗高,长时间服 役易出现驴头裂纹、连杆断裂等。目前,我国油田闲置 的异五型抽油机较多,数量达600台,大多数已服役 了 17 a 左右,由于该机型数量多,修旧利废能节约大 量资金。异五型抽油机的再制造从驴头、游梁、配重、 连杆和曲柄等多方面进行的,本文只研究连杆方面的 受力情况和结构改讲。

抽油机的工作原理决定了其各部件会承受周期 性的交变载荷,因此部分部件长期工作后易发生疲劳 损坏。抽油机各部件首先要有足够的强度和刚度,在 抽油机的强度计算中,均以最大悬点载荷、最大冲程 及最高冲次所组成的工况,对游梁、横梁、曲柄、连杆 及支架等进行计算[1]。这种计算方法一般能满足设计 要求,但这种常规校核计算对部件某些部位的受力情 况反映不够准确,如连杆接头芯杆和中间管的焊接处

就比较容易断裂。本文使用有限元分析软件 ANSYS 对 连杆结构进行分析,并借助再制造技术提出改进方案。

# 1 连杆的载荷计算

游梁式抽油机游梁平衡受力示意图见图 1。抽油 机连杆质量较轻,其运动产生的惯性力及惯性力矩较 小。如果忽略连杆运动所产生的惯性力矩,则可认为 连杆为二力杆[2-3],设连杆受力为 $P_L$ ,则:

$$P_{L} = \frac{A}{C \sin \beta} \left( (P - B) - \frac{K_{c}}{A} Q_{W} \right) \tag{1}$$

式中:A 为游梁前臂长度,mm; C 为游梁后臂长度,  $mm; \beta 为 C 与 P$ 的夹角,称传动角,(°); P为悬点载 荷值,kN; B 为摆动部件的自重折算作用在悬点处的 载荷,kN; Kc为游梁平衡块重心到游梁旋转中心的距 离,mm;  $Q_{ii}$ 为游梁平衡块重量,kN。

对于常规游梁式抽油机,当曲柄逆时针旋转时,K 与 R 成一条 直线时,  $\beta$  角偏离 90° 最远, 则:

$$\beta_0 = \arccos\left(\frac{C^2 + L^2 - (K + R)^2}{2CL}\right) \tag{2}$$

式中: $\beta_0$  为上冲程中偏离 90°最远的  $\beta$  角(连杆与游梁

2013年6月

的夹角); R 为曲柄半径,mm; L 为连杆长度,mm; K 为减速器输出轴到游梁旋转中心的距离,mm。

根据已知情况,可以计算 $\beta_0$ =150.5°,则连杆最大受力为:

$$P_{L_{\text{max}}} = \frac{A}{C \sin \beta_0} \left( (P - B) - \frac{K_c}{A} Q_{\text{W}_f} \right)$$

$$= \frac{2.095}{2.000 \times \sin(150.5^\circ)} \times 51.76$$

$$= 110.13 \text{ kN}$$

连杆最小受力为:

$$P_{Lmin} = \frac{A}{C \sin \beta} \left( (P - B) - \frac{K_c}{A} Q_{\text{diff}} \right)$$
$$= \frac{2.095}{2.000 \times \sin(90^\circ)} \times 27.61$$
$$= 28.92 \text{ kN}$$

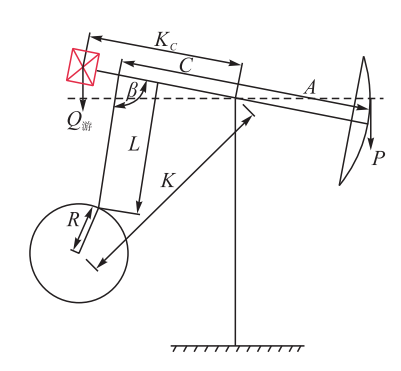


图 1 游梁式抽油机受力示意图

## 2 连杆的断裂及分析

## 2.1 连杆的断裂形式及分析

连杆在抽油机的传动系统中,上连接游梁,下连接曲柄,主要承受轴向交变载荷,工作一段时间后,会产生疲劳断裂,断裂形式见图 2~3<sup>[4]</sup>。从图 2~3 中可见,断裂位置为中间管的凹槽和连杆接头芯杆的连接处。通过对现场多根已产生裂纹但尚未断裂的连杆进行分析,发现裂纹几乎都在中间管的凹槽和连杆接头芯杆的连接处产生,并沿周向扩展,可见连杆的结构设计存在较大问题。



图 2 连杆断裂形式一



图 3 连杆断裂形式二

将连杆接头和中间管的连接处沿截面剖开,发现接头芯杆外表面和中间管内表面都是毛胚面,芯杆装进中间管时对中性差,在实际工作中会产生附加应力。同时,中间管两端切割出来的凹槽较粗糙,难免出现许多微小裂纹,在长期的交变载荷作用下,连杆在该部位断裂的倾向更趋增大。

## 2.2 连杆的有限元分析

由于用常规校核方法难以对连杆的连接部位进行计算,故运用有限元软件 ANSYS 对连杆原结构进行分析。先在三维造型软件 UG 中对连杆建模,再把模型导入到 ANSYS 软件中进行计算。在连杆的建模过程中没有考虑连杆接头芯杆和中间管的不对中问题,而是以完全对中的形式进行建模。由于需要在连杆接头芯子和外管的焊接处进行较密网格的划分,所以只取连杆部分模型进行分析。对于受力形式为二力杆的连杆来说,这样的简化是合理的,且能减小有限元模型。使用 Solid45 单元,采用自由网格划分方式,并设置较小的单元尺寸以取得足够的计算精度<sup>[5]</sup>。连杆的等效应力分析见图 4~5。

有限元分析结果表明:连杆受力最大时,中间管端部的凹槽与连杆接头芯杆的连接处存在较大的应

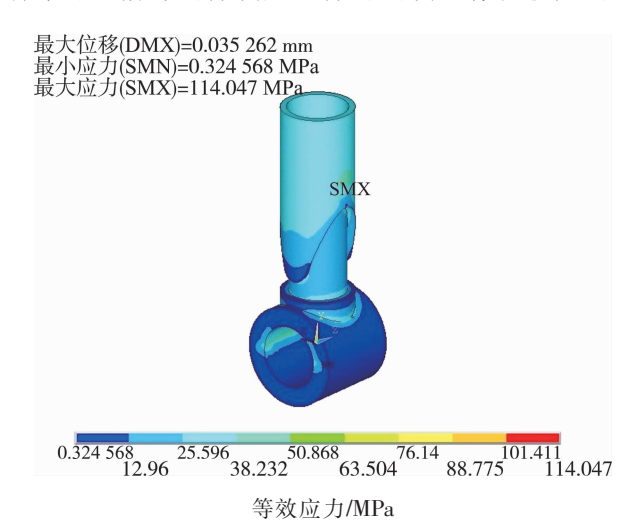


图 4 连杆外部等效应力

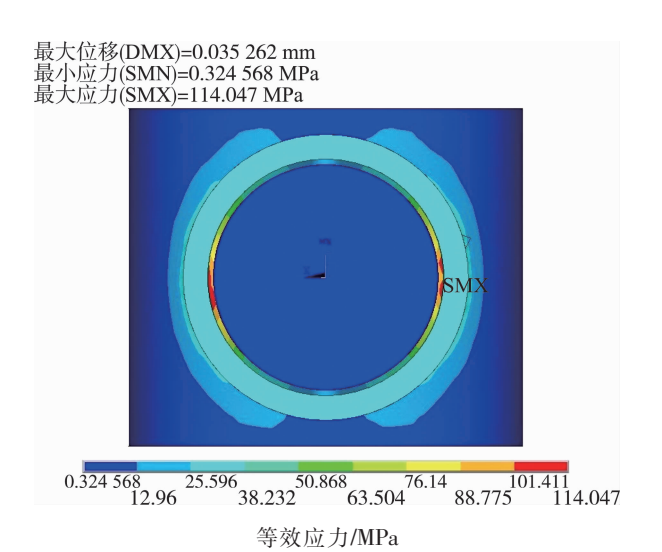


图 5 连杆内部等效应力

力集中,应力集中部位的应力较高,达到 114.05 MPa, 而其余部位的应力为 20 MPa 左右;连杆受力最小时, 应力集中部位的应力为 29.96 MPa。从图 4~5 中可见, 应力集中区的位置和实际断裂位置一致。抽油机长时 间运转, 应力集中部位的材料首先产生疲劳裂纹源, 并沿应力梯度线缓慢向外发展,直至裂纹发展到一定 尺寸,裂纹扩展速度急速增加,产生宏观裂纹,最终造 成连杆断裂[6]。

连杆中间管两端割出凹槽后再与连杆接头焊接 的目的是为了避免出现环形对接焊缝,但通过有限元 分析可知,这样的设计不合理,导致应力集中部位的 产生,且此部位经常产生疲劳断裂。这样一个存在应 力集中的薄弱环形截面对弯矩的抵抗能力较弱。

#### 2.3 连杆的疲劳寿命计算

在零件的最大应力位置和方向不变的情况下,将 可直接使用最大载荷时的应力与最小应力相减,得出 零件应力变化幅值,进而采用 S-N 疲劳寿命曲线评价 方法对结构的疲劳寿命进行评价。对于钢材的疲劳和 材料的拉伸特性之间的关系有特别成熟的经验关系 式如下[7]:

$$\frac{S}{S_u} = \mathbf{K} \cdot \lg(N) + \mathbf{b} \tag{3}$$

式中:S 为名义应力值,MPa;  $S_u$  为抗拉极限强度, MPa; N 为材料疲劳寿命,次;  $K \setminus b$  为材料常数。

- a) 当 S<sub>u</sub><1 400 MPa 时 、S<sub>6</sub>=Se=0.5S<sub>u</sub> (S<sub>6</sub> 即疲劳寿 命为 10<sup>6</sup> 的材料名义应力值);
- b) S<sub>3</sub>=0.9S<sub>4</sub>(S<sub>3</sub> 即疲劳寿命为 10<sup>3</sup> 的材料名义应力 值)。

由此可得,K=-2/15,b=13/10,即  $S/S_u=-2/15$ ·lg (N)+13/10,则:

$$N=10^{(13/10-SS_u)\cdot 15/2} \tag{4}$$

由抽油机连杆的结构和受力形式可知,采用上述 疲劳强度计算方法是合适的, 连杆中间管所使用的 材料为 Q235-B, 其抗拉强度 S,=375 MPa, 又 S=114.04 -29.96=84.08 MPa, 由式(4)计算得 N=10<sup>(13/10-S/S<sub>u</sub>)·15/2</sup>= 115 478 198 次,约合 36.6 a。抽油机连杆的现场使用 寿命远低于其理论寿命,说明应力集中只是连杆断裂 的重要原因之一,连杆接头和中间管的不对中以及存 在于接头处的微裂纹降低了结构疲劳强度,大大加速 了连杆的断裂。

# 3 改进措施

再制造就是采用新技术、通过更换新部件、实施表 面修复或者改变部分结构使损坏的设备恢复甚至提升 使用功能,达到甚至超越原设备的技术标准,形成新产 品。它必须以具有再制造价值的现有设备(损坏的、报 废的、闲置的、在用的)为载体,采用新技术和新工艺对 设备进行再制造,再制造设备能够像新产品一样进入 市场流通,在原地或者异地使用。

焊接工艺是再制造过程中使用的主要工艺之一, 而焊接结构的破坏往往起源于焊接接头区,这除了受 材料选择、焊接结构的制造工艺影响外,还与焊接接头 的设计有关。很明显,用于此连杆的焊接材料广泛用于 其他部位,少有开裂的现象,因此排除材料不合格的因 素。为解决连杆的断裂问题,采取了下面改进措施[8-10]。

# 3.1 接头处设计与制造工艺的改进

现场经验表明,连杆的两个接头在正常使用中基 本不会损坏,因此,断裂的连杆只需更换中间管即可。

a) 改用截面尺寸更大的连杆中间管。以前的截面 尺寸为外径  $\Phi$ 76 mm,内径  $\Phi$ 63 mm;改变后的尺寸为 外径  $\Phi$ 76 mm, 内径  $\Phi$ 59 mm。中间管截面尺寸的增加 能够提高中间管与连杆接头焊接部位的强度,降低连 杆截面应力。对新的连杆中间管两端进行精加工,提 高其与连杆接头的配合精度,同时消除潜在微小裂 纹。新的连杆中间管见图 6。



图 6 改进后连杆中间管

b) 改变连杆接头与中间管的连接方式。中间管的 两端不再割出凹槽,同时打磨连杆接头芯杆,使其直 径小于中间管内径,即< $\Phi$ 59 mm,这样可使中间管不 与接头芯杆焊接而直接与接头凸台焊接,见图7。

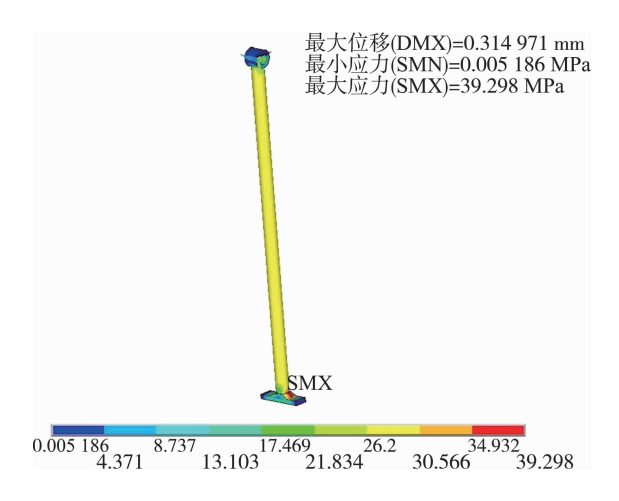


图 7 连杆接头与中间管焊接图

# 3.2 焊接裂纹的控制及检测

- a) 焊前预热能够使焊件在焊后降低冷却速度,一 定程度上降低残余应力及材料的淬硬性。
- b) 焊接材料要妥善保管, 焊前必须严格烘干,进 行保温,同时要保持焊接材料的清洁。
- c) 控制焊接参数(电流、焊速、焊丝直径)及焊缝 成型。
- d) 利用超声波对焊接处进行裂纹缺陷检测,检测 出存在焊接裂纹的连杆不得投入使用,必须进行返工 或报废处理。

改造后的连杆在使用中性能良好,没有再出现开 裂现象。对改进后的连杆进行有限元分析,结果表明: 改进后的连杆结构能消除应力集中,大大降低连接处 的应力水平,有效预防连杆断裂;在连杆受力最大时, 连杆接头和中间管的连接部位应力最高为 39.3 MPa, 改进后的连杆等效应力分析见图 8。连杆受力最小时, 连杆接头和中间管的连接部位应力最高为 10.25 MPa。



等效应力/MPa

图 8 改讲后连杆等效应力

由式(4)计算改进后的连杆疲劳寿命为 N=1 475 706 533 次,约合467.9 a。理论计算和实际使用都表明,改进后 的连杆性能良好。

## 4 结论

- a) 经过有限元分析,证明连杆原结构设计缺陷是 引起连杆断裂的主要原因,焊接质量、加工工艺是次 要原因。
- b) 改进后的连杆消除了应力集中,提高了连杆接 头和中间管的配合精度,能够有效抑制焊接裂纹的产 生,大幅降低了连接部位的应力水平,使连杆强度高、 寿命长。
- c) 再制造技术的运用能够使闲置、废旧的部件和 机械重新得到使用,再制造的费用相对于采购新机低 廉许多,降低了生产成本。

#### 参考文献:

- [1] 张建军,李向齐,石慧宁. 游梁式抽油机设计计算[M]. 北 京:石油工业出版社,2005.68-69. Zhang Jianjun, Li Xiangqi, Shi Huining. Design Calculation of
  - Beam Pumping Units [M]. Beijing: Petroleum Industry Press, 2005, 68-69.
- [2] 邬亦炯, 刘卓钧. 抽油机[M]. 北京: 石油工业出版社, 1994. 234-236.
  - Wu Yijiong, Liu Zhuojun. The Pumping Unit [M]. Beijing: Petroleum Industry Press, 1994. 234-236.
- [3] 蒯圣廷,陈应华,喻开安. 异相型抽油机连杆的优化设计[J]. 钻采工艺,2002,25(1):71-72.
  - Kuai Shengting, Chen Yinghua, Yu Kaian. Optimizing Design of Link-Bar on Pumping Units [J]. Drilling and Production Technology, 2002, 25(1):71-72.
- [4] 罗仁全,张学鲁,于胜存,等. 游梁式抽油机节能机理及其典 型构件分析 [M]. 东营:中国石油大学出版社,2007.147-149.
  - Luo Renquan, Zhang Xuelu, Yu Shengcun, et al. Analysis of Energy-Saving Mechanism and Typical Components of Beam Pumping Units [M]. Dongying: China University of Petroleum Press, 2007, 147–149.
- [5] 薛风先,胡仁喜,康士廷,等. ANSYS12.0 机械与结构有限 元分析从入门到精通[M]. 北京: 机械工业出版社,2007. 201 - 209.

Xue Fengxian, Hu Renxi, Kang Shiting, et al. ANSYS12.0 Mechanical and Structural Finite Element Analysis from Entry to the Master [M]. Beijing: Mechanical Industry Press, 2007. 201-209.

- [6] 周 群,张建成,那连仲.CYJ5-1-8-18HPF 抽油机驴头喉口开裂原因分析及改进措施[J]. 新疆石油科技,2008,1 (18):35-36.
  - Zhou Qun, Zhang Jiancheng, Na Lianzhong. Crack Reason Analysis and Improvement Measures of the CYJ5-1-8-18HPF Pumping Unit Horsehead Throat [J]. Xinjiang Petroleum Science and Technology, 2008, 1(18):35-36.
- [7] 张宏志,盛选禹. 双驴头抽油机支架疲劳强度分析[J]. 机电工程技术,2008,37(1):79-81.
  - Zhang Hongzhi, Sheng Xuanyu. Fatigue Life Analysis of Supporter of Dual Horse Beam Pumping Unit [J]. Mechanical and Electrical Engineering Technology, 2008, 37(1):79–81.
- [8] 张有渝,谢 兵.管件和钢管几何尺寸偏差及其对组焊质量 影响的分析[J]. 天然气与石油,2008,26(2):24-27.

- Zhang Youyu, Xie Bing. Analysis of Pipe Fittings and Pipe Size Deviation and its Effect on Welding Quality [J]. Natural Gas and Oil, 2008, 26(2):24–27.
- [9] 龙婷婷,尹 恒,李 渡,等. 某集输气管道工程焊缝裂纹分析[J]. 天然气与石油,2010,28(6):3-5.
  - Long Tingting, Yin Heng, Li Du, et al. Weldcrack Analysis of a Gas Transmission Pipeline Project [J]. Natural Gas and Oil, 2010, 28(6):3-5.
- [10] 邓 托. 焊接裂纹的成因及控制[J]. 南通航运职业技术学院学报,2007,6(3):66-67.
  - Deng Tuo. Causes and Control of Weldcrack [J]. Journal of Nantong Vocational and Technical Shipping College, 2007, 6 (3):66–67.